



境界条件を代入して、分割マトリックス化すると式(5)となる。この式が成立するためには、 $\{K_{pp}\}$ の行列式

$$\begin{Bmatrix} F \\ F=0 \end{Bmatrix} = \begin{Bmatrix} K_{\alpha\alpha} & K_{\alpha\beta} \\ K_{\beta\alpha} & K_{\beta\beta} \end{Bmatrix} \begin{Bmatrix} y=0 \\ y \end{Bmatrix} \quad (5) \quad |K_{pp}|=0 \quad (6)$$

は零でなければならぬ。したがって、式(6)が固有振動方程式となる。

式(6)から求められた固有値 $\lambda$ を式(3)に代入して、境界条件より各径間の積分定数が決定し、 $i$ 径間の各次の固有関数は、式(7)で表現される。

$$X_{ki}(x_i) = A_i \cos \lambda_{ki} \frac{x_i}{l_i} + B_i \sin \lambda_{ki} \frac{x_i}{l_i} + C_i \cosh \lambda_{ki} \frac{x_i}{l_i} + D_i \sinh \lambda_{ki} \frac{x_i}{l_i} \quad (7)$$

### 3 振動アフィン荷重展開

各径間について、桁の曲げたわみに関する微分方程式は

$$EI_i \frac{d^4 W(x_i)}{dx_i^4} = p_i(x_i) \quad (8)$$

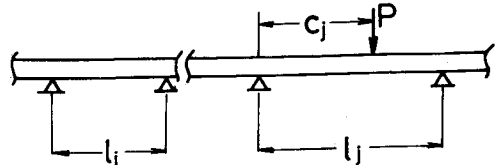


図-3

添字 $i$ は、第 $i$ 径間におけるものを示しており、 $p_i(x_i)$

は $i$ 径間に載荷されていると考えられる分布荷重強度を表わしている。ここで、桁の境界条件を満足する固有関数 $X_{ki}(x_i)$ が直交条件を満たしていることから、 $p_i(x_i)$ が $X_{ki}(x_i)$ で級数展開できる。<sup>2)</sup>

$$p_i(x_i) = \sum_{k=1}^{\infty} \frac{q_i}{g} a_k X_{ki}(x_i) \quad \text{ここで} \quad a_k = \frac{\int_0^{l_i} p(x) X_{ks}(x_s) dx_s}{N_k^2} \quad (9)$$

$$N_k^2 = \sum_{s=1}^n \int_0^{l_s} \frac{q_s}{g} X_{ks}^2(x_s) dx_s = \frac{1}{2g} \sum_{s=1}^n \frac{q_s}{l_s} (A_s^2 + B_s^2 + C_s^2 + D_s^2)$$

ここで、図-3の様な集中荷重 $P$ が $j$ 径間の $C_j$ の位置に作用している時の $i$ 径間の分布荷重強度は、式(9)より、式(10)となる。

$$p_i(x_i) = \frac{P g_i}{g} \sum_{k=1}^{\infty} \frac{X_{kj}(C_j)}{N_k^2} X_{ki}(x_i) \quad (10)$$

### 4 $n$ 径間変断面連続桁の走行荷重による強制振動の解析理論

粘性減衰を考慮した桁の曲げ振動の微分方程式は、式(11)で与えられる。ここで、 $m$ は減衰定数である。

$$\frac{\partial^2 W(x, t)}{\partial t^2} + 2m \frac{\partial W(x, t)}{\partial t} + \frac{gEI}{g} \frac{\partial^4 W(x, t)}{\partial x^4} = \frac{g}{g} p(x, t) \quad (11)$$

集中荷重 $P$ が、第 $j$ 径間を移動している

場合、微分方程式の解を次式の様に、固有関数 $X(x)$ と基準座標 $T(t)$ の積の級数解で表わす。ここで、 $W_i(x_i, t_j)$ は

集中荷重 $P$ が第 $j$ 径間を時間 $t_j$ だけ、

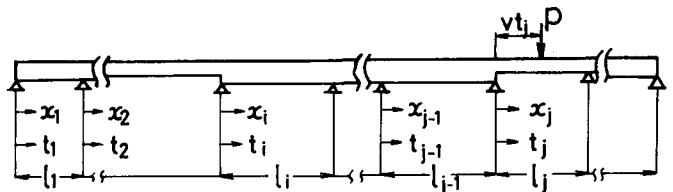


図-4

$$W_i(x_i, t_j) = \sum_{k=1}^{\infty} X_{ki}(x_i) T_{kj}(t_j)$$

$$W_i(x_i, t_j) = \sum_{k=1}^{\infty} X_{ki}(x_i) T_{kj}(t_j)$$

$$W_n(x_n, t_j) = \sum_{k=1}^{\infty} X_{kn}(x_n) T_{kj}(t_j)$$

移動する時の第 $i$ 径間の $x_i$ の位置における動的たわみを表わしている。

集中荷重 $P$ の振動アフィン荷重展開式(10)において、 $C_j = vt_j$ を代入すると、 $i$ 径間の荷重展開は、

$$p_i(x_i, t_j) = \frac{P g_i}{g} \sum_{k=1}^{\infty} \frac{X_{kj}(vt_j)}{N_k^2} X_{ki}(x_i) \quad (13)$$

すなわち、式(13)は集中荷重Pが第j径間をv t\_jだけ移動する時の第i径間のx\_iの位置に作用する分布荷重強度を表わしている。式(12)、式(13)を式(11)に代入して、整理すると、i径間において次式の様な時間t\_jに関する微分方程式(14)が得られる。

$$\frac{d^2 T_{Rj}(t_j)}{dt_j^2} + 2m \frac{dT_{Rj}(t_j)}{dt_j} + \frac{gEI_i}{g_i} \left(\frac{\lambda_{Ri}}{l_i}\right)^4 T_{Rj}(t_j) = \frac{P}{N_i^2} X_{Rj}(v t_j) \quad (14)$$

桁の円振動数は、全径間で等しいので、次式の様に置き換えて（ここで、 $\dot{T} = \frac{dT}{dt}$ ）

$$\ddot{T}_{Rj}(t_j) + 2m \dot{T}_{Rj}(t_j) + \omega_{Ri}^2 T_{Rj}(t_j) = \gamma_{Ri} X_{Rj}(t_j) \quad (15)$$

ここで、 $\omega_{Ri}^2 = \frac{gEI_i}{g_i} \left(\frac{\lambda_{Ri}}{l_i}\right)^4$  ... 桁の固有円振動数、 $\gamma_{Ri} = \frac{P}{N_i^2}$

式(15)をラプラス変換して解くと、次式の様な第1項 $\eta_{Rj}(t_j)$ が自由振動、第2項 $\varphi_{Rj}(t_j)$ が強制振動を表わす解を得る。

$$T_{Rj}(t_j) = \eta_{Rj}(t_j) + \varphi_{Rj}(t_j) \quad (16)$$

ここで、 $\eta_{Rj}(t_j) = T_{Rj}(0) e^{-m t_j} \cos(\sqrt{\omega_{Ri}^2 - m^2} t_j) + \{\dot{T}_{Rj}(0) + m T_{Rj}(0)\} \frac{e^{-m t_j}}{\sqrt{\omega_{Ri}^2 - m^2}} \sin(\sqrt{\omega_{Ri}^2 - m^2} t_j)$

$$\varphi_{Rj}(t_j) = \frac{\gamma_{Ri}}{\sqrt{\omega_{Ri}^2 - m^2}} \int_0^{t_j} X_{Rj}(v t_j) e^{-m(t_j - \tau)} \sin(\sqrt{\omega_{Ri}^2 - m^2}(t_j - \tau)) d\tau$$

式(16)を式(12)に代入して、時間的連続条件、すなわち荷重Pが第j-1径間を通過する瞬間とj径間に入る時のためみおよびためみ速度は等しい。したがって、

$$W_i(x_i, t_{j-1} = l_{j-1}/v) = W_i(x_i, t_j = 0), \quad \dot{W}_i(x_i, t_{j-1} = l_{j-1}/v) = \dot{W}_i(x_i, t_j = 0) \quad (17)$$

式(17)より式(16)の第1項 $\eta_{Rj}(t_j)$ 中の未知数 $T_{Rj}(0)$ および $\dot{T}_{Rj}(0)$ は次式で求まる。

$$T_{Rj-1}(l_{j-1}/v) = T_{Rj}(0) \quad \dot{T}_{Rj-1}(l_{j-1}/v) = \dot{T}_{Rj}(0) \quad (18)$$

特別な場合として、荷重Pが第1径間を移動する場合、荷重Pが桁に作用する直前では、桁は静止状態にあるので、ためみおよびためみ速度は零である。したがって、 $T_{R1}(0) = \dot{T}_{R1}(0) = 0$ となり

$$T_{R1}(t_1) = \varphi_{R1}(t_1) \quad \dot{T}_{R1}(t_1) = \dot{\varphi}_{R1}(t_1) \quad (19)$$

故に、式(18)、式(19)より、 $T_{Rj}(t_j)$ は順次漸化的に求まる。

—動的ためみの解—

i) 荷重Pが第1径間を移動する場合

$$W_i(x_i, t_1) = \sum_{R=1}^{\infty} X_{Ri}(x_i) T_{R1}(t_1) \quad (20)$$

ここで、 $T_{R1}(t_1) = \frac{\gamma_{R1}}{\alpha_{R1}} \left\{ {}_R A_1 C E S_{R1}(t_1) + {}_R B_1 S E S_{R1}(t_1) + {}_R C_1 C H S_{R1}(t_1) + {}_R D_1 S H S_{R1}(t_1) \right\}$

ii) 荷重Pが第j径間を移動する場合

$$W_i(x_i, t_j) = \sum_{R=1}^{\infty} X_{Ri}(x_i) T_{Rj}(t_j) \quad (21)$$

ここで、 $T_{Rj}(t_j) = T_{Rj-1}(l_{j-1}/v) e^{-m t_j} \cos \alpha_{Rj} t_j + \left\{ \dot{T}_{Rj-1}(l_{j-1}/v) + m T_{Rj-1}(l_{j-1}/v) \right\} \frac{e^{-m t_j}}{\alpha_{Rj}} \sin \alpha_{Rj} t_j$   
 $+ \frac{\gamma_{Rj}}{\alpha_{Rj}} \left\{ {}_R A_j C E S_{Rj}(t_j) + {}_R B_j S E S_{Rj}(t_j) + {}_R C_j C H S_{Rj}(t_j) + {}_R D_j S H S_{Rj}(t_j) \right\}$

$$\alpha_{Rj} = \sqrt{\omega_{Ri}^2 - m^2}, \quad \mu_{Rj} = \frac{\lambda_{Ri} v}{l_j}$$

$$C E S_{Rj}(t_j) = \int_0^{t_j} \cos \mu_{Rj} \tau \cdot e^{-m(t_j - \tau)} \sin \alpha_{Rj}(t_j - \tau) d\tau, \quad S E S_{Rj}(t_j) = \int_0^{t_j} \sin \mu_{Rj} \tau \cdot e^{-m(t_j - \tau)} \sin \alpha_{Rj}(t_j - \tau) d\tau$$

$$C H S_{Rj}(t_j) = \int_0^{t_j} \cosh \mu_{Rj} \tau \cdot e^{-m(t_j - \tau)} \sin \alpha_{Rj}(t_j - \tau) d\tau, \quad S H S_{Rj}(t_j) = \int_0^{t_j} \sinh \mu_{Rj} \tau \cdot e^{-m(t_j - \tau)} \sin \alpha_{Rj}(t_j - \tau) d\tau$$

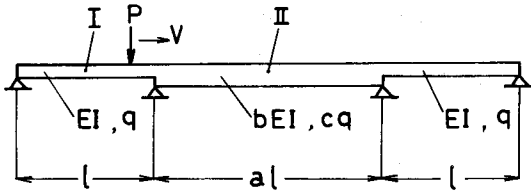


図-5

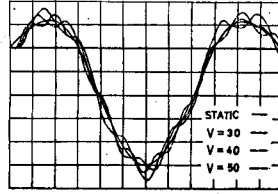


図-6

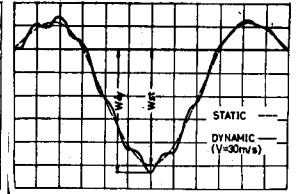


図-7

5 数値計算例

図-5の様な対称三径間連続橋において、パラメータ  $a, b, c$  を用いて整理する。表-1は、パラメータの変化に伴う1次固有値  $\lambda_1$  を示している。

a \ b	1.0	2.0	3.0	4.0
1.0	3.1415926	3.3373328	3.4582940	3.5405448
1.5	2.4893567	2.7322984	2.8977571	3.0279505
2.0	1.9633011	2.1718234	2.3105901	2.4211965
2.5	1.6135644	1.7905163	1.9044819	1.9940470
3.0	1.3698757	1.5238478	1.6204065	1.6951467

1st EIGEN VALUE ( $c=10$ )

表-1

図-6は、次の断面諸元の桁を集中荷重  $P=1\text{ton}$  が速度 ( $v=30, 40, 50\text{m/s}$ ) で移動する時の中央径間中央 (II点) における動的たわみ影響線を示している。  
 $\left[ a=2.0, b=3.0, c=1.0, l=15.0\text{m} \right]$   
 $\left[ EI=0.2 \times 10^6 \text{ton}\cdot\text{m}^2, q=1.0 \text{ton/m} \right]$

ここで、桁の動的挙動を示す指標として、動的増加率 (D.A.F.) を次式で定義する。

$$D.A.F. = \frac{W_{dy} - W_{st}}{W_{st}} \times 100 \quad (\%) \quad (22)$$

ここで、 $W_{dy}$ : 最大動的たわみ (図-7参照)  
 $W_{st}$ : 最大静的たわみ

また、移動速度・桁の断面諸元の指標として、 $\theta$  を次式で定義する。

$$\theta = \frac{\mu_1}{\omega_1} \quad \text{ここで} \quad \mu_1 = \frac{\lambda_1}{l_1} v, \quad \omega_1 = \sqrt{\frac{2EI_1 (\lambda_1)^4}{8l_1}} \quad (23)$$

図-8, 図-9は、側径間中央 (I点) と中央径間中央 (II点) の D.A.F.- $\theta$  曲線である。この曲線において、D.A.F.の値が減少する場合があるが、これは振動成分の谷の部分  $W_{dy}$  に相当するためである。

図-10, 図-11は、中央径間の曲げ剛性を变化させた場合の側径間中央 (I点) における D.A.F. の変化を示したものである。ここで、横軸のパラメータとして、 $v\sqrt{8l_1 l_2^2 / 2EI_1}$  を用いている。

6 あとがき

以上の様に、動的剛性マトリックス法により、固有値および固有関数を求め、振動アフィン荷重展開を導入すれば、変断面連続橋の走行荷重による動的応答を容易に求めることができ、さらに中間にバネ支承を有する連続橋の動的問題も解析可能となった。本計算は、北海道大学大型計算機センターの FACOM-230-75 を使用した。

- 1) 小泉・渡辺・金子: ヴィン荷重の構造力学への応用に関する研究, 土木学会北海道支部論文報告集 33号
- 2) 安部清彦: 奥州ノール出版, 森北出版